



CENTRE FOR ADVANCED LASER TECHNIQUES

Diskretna difrakcija na optički induciranim rešetkama u parama atoma rubidija

Gabrijela Galić

Mentor: doc. dr. sc. Damir Aumiler

Institut za fiziku, Bijenička cesta 46, 10 000 Zagreb

Projekt je sufinanciran u okviru OP Konkurentnost i kohezija, iz Europskog fonda za regionalni razvoj.

© CALT



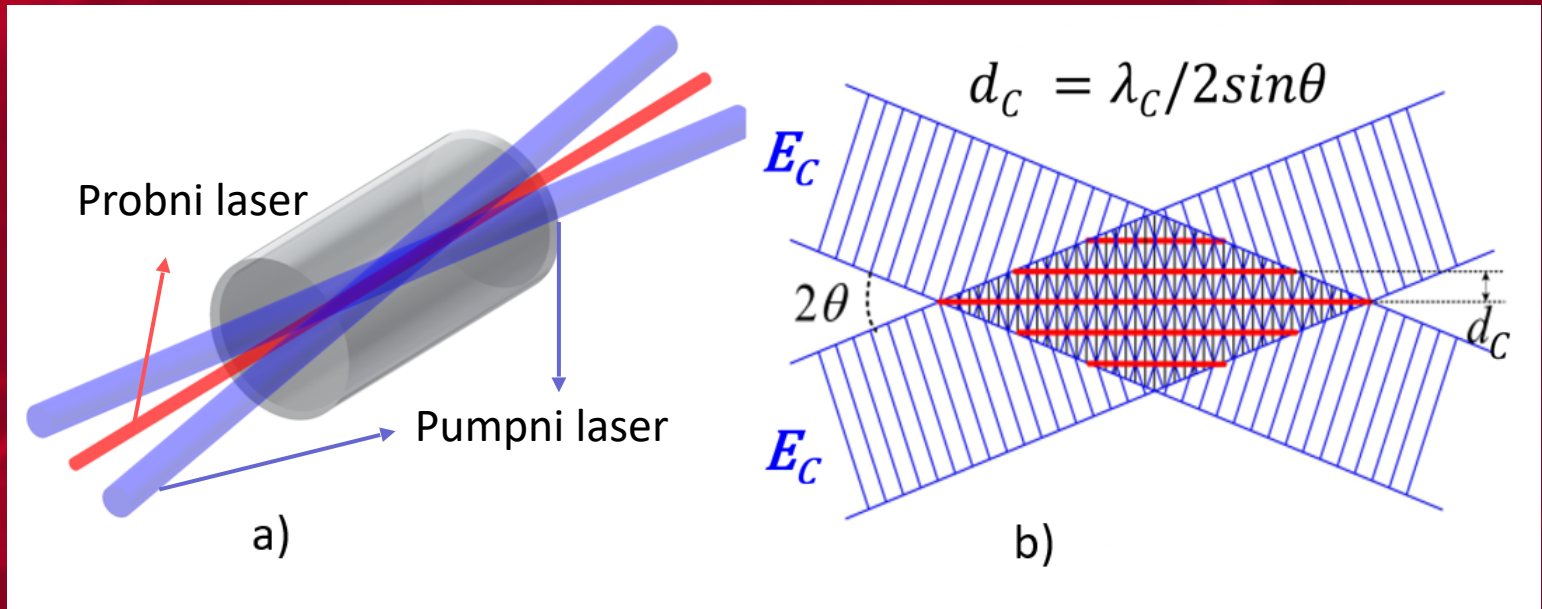
Europska unija
Zajedno do fondova EU



Operativni program
**KONKURENTNOST
I KOHEZIJA**

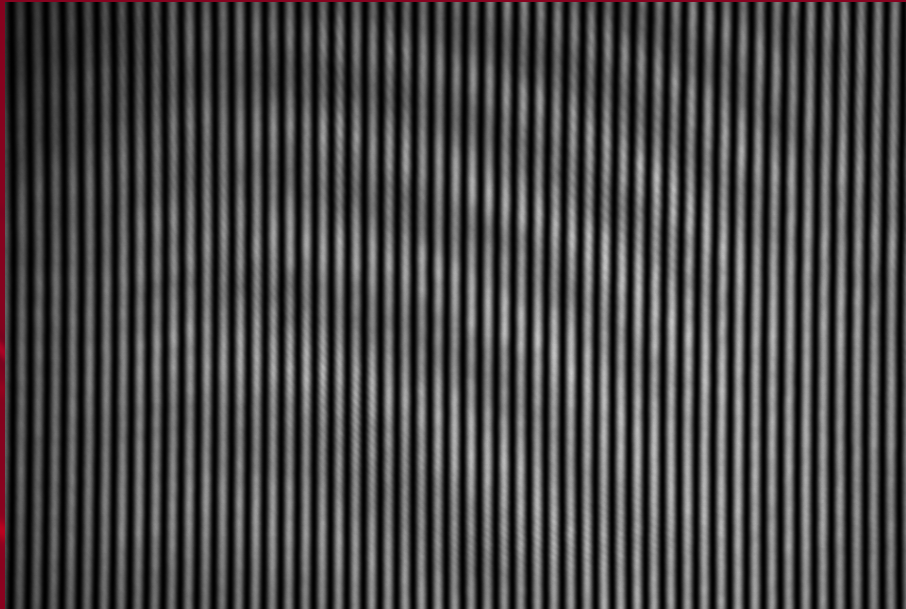
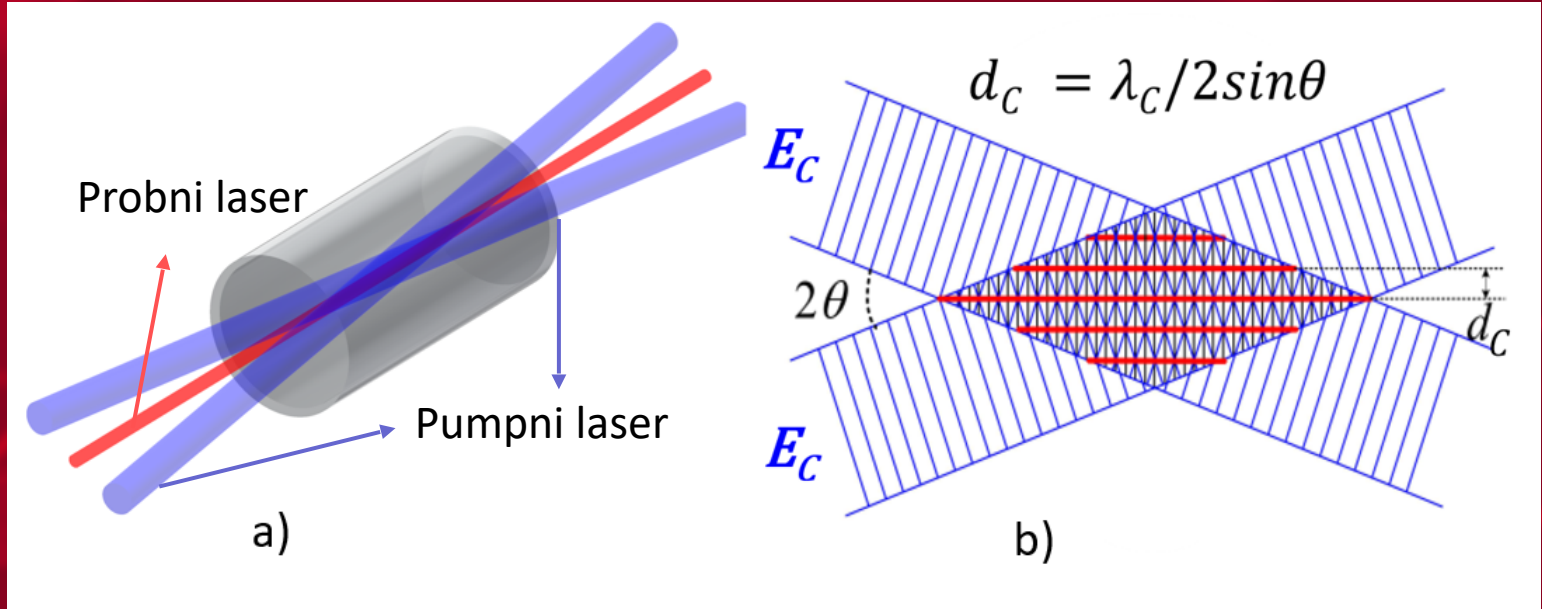


Inducirana rešetka



- a) Prikaz prolaska laserskih zraka kroz staklenu ćeliju s parom atoma rubidija.
- b) Prikaz interferencije pumpnih laserskih zraka i pojave interferencijskog uzorka.

Inducirana rešetka

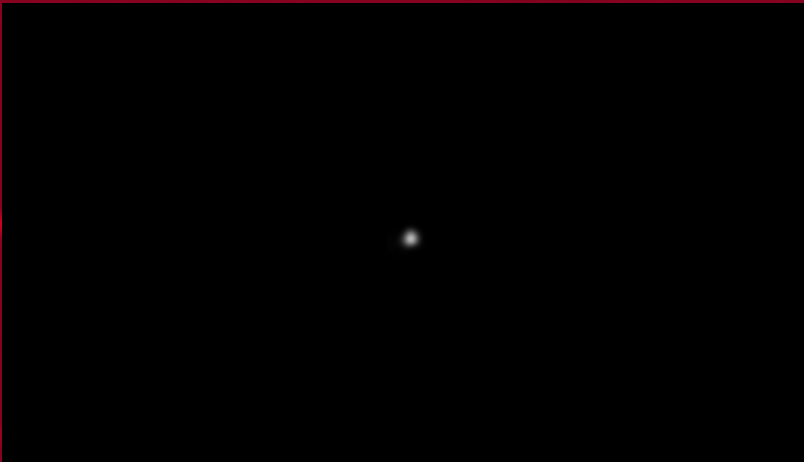


a) Prikaz prolaska laserskih zraka kroz staklenu ćeliju s parom atoma rubidija.

Rešetka dobivena interferencijskim zrakama

b) Prikaz interferencije pumpnih laserskih zraka i pojave interferencijskog uzorka.

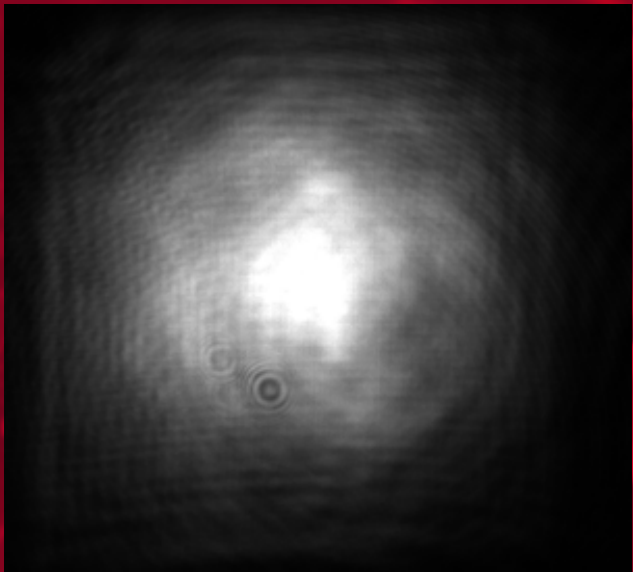
Proba fokusirana na ulazu u staklenu ćeliju



Proba fokusirana na ulazu u staklenu ćeliju



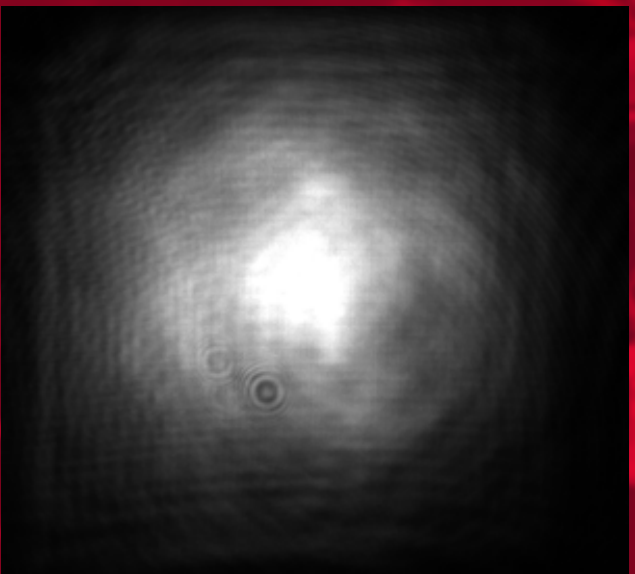
Slika probe bez rešetke na izlazu



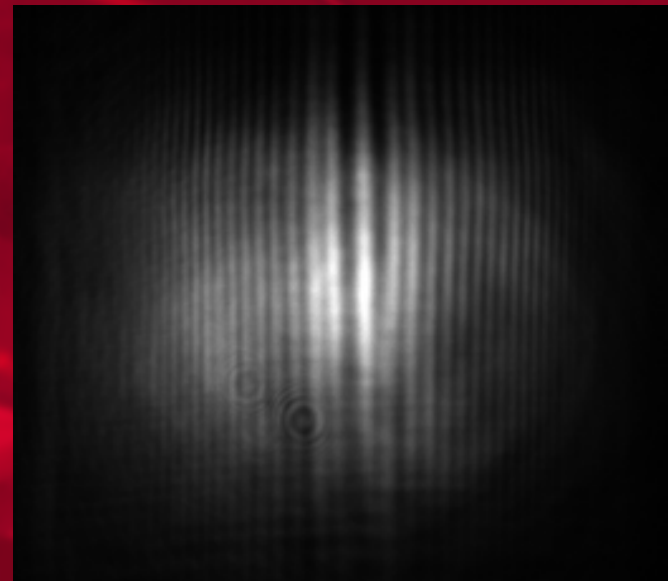
Proba fokusirana na ulazu u staklenu ćeliju



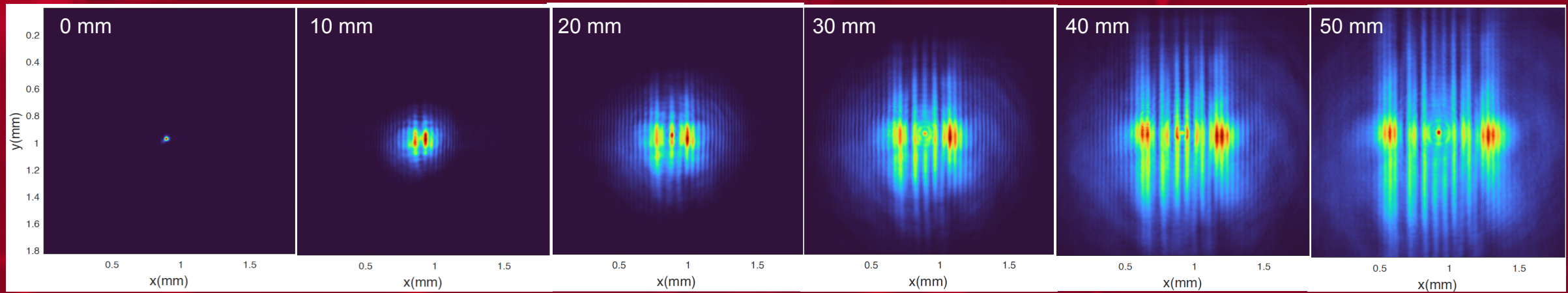
Slika probe bez rešetke na izlazu



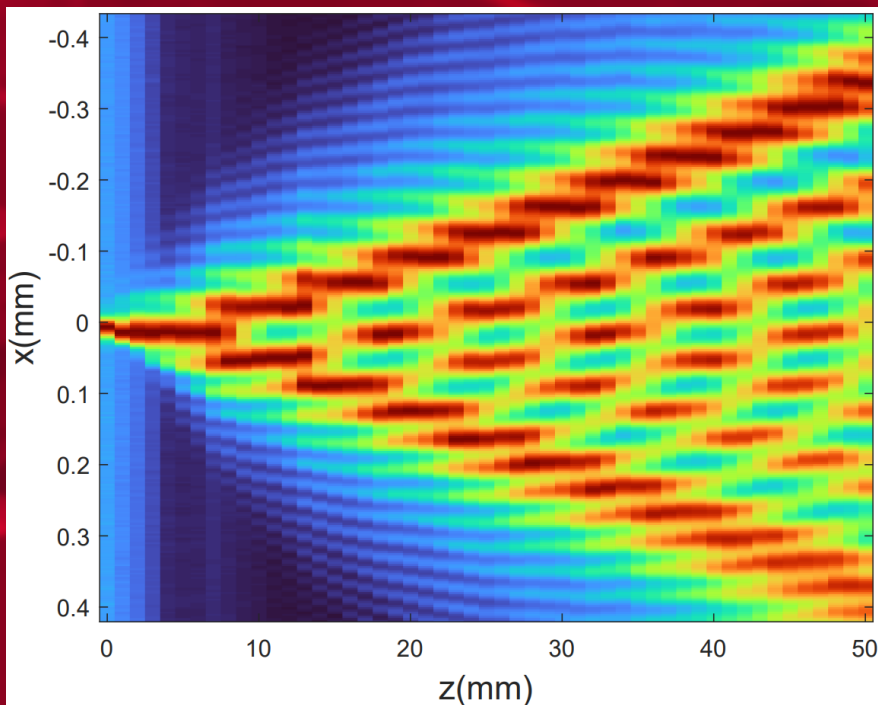
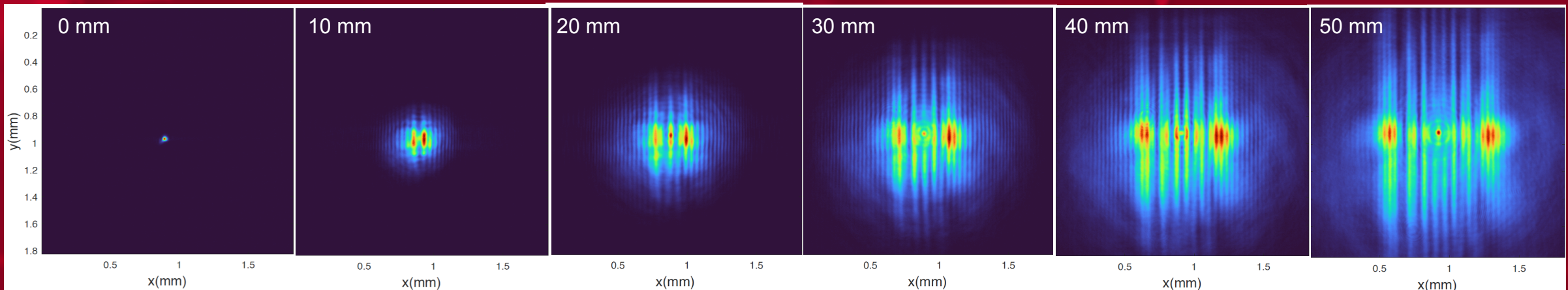
Slika probe s rešetkom na izlazu



Diskretna difrakcija, rešetka = $37 \mu\text{m}$



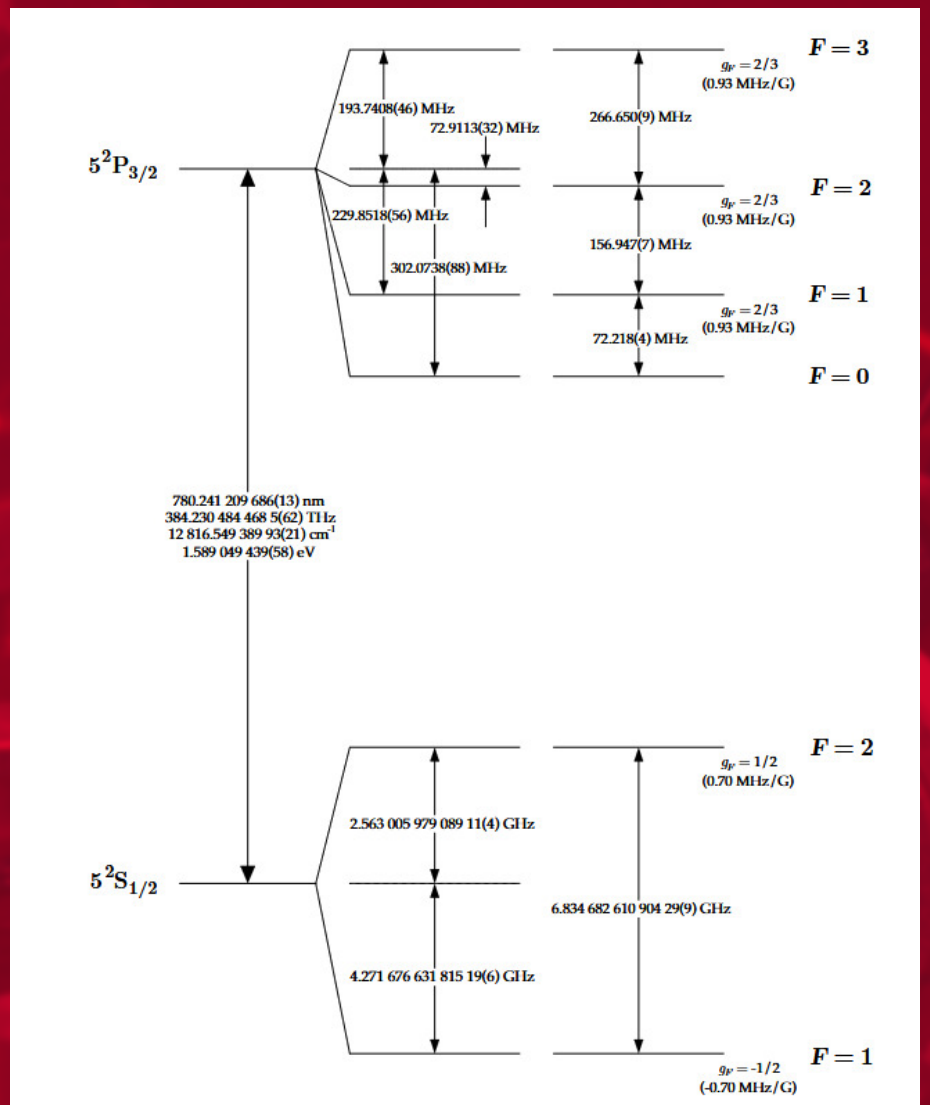
Diskretna difrakcija, rešetka = $37 \mu\text{m}$



Snaga probnog lasera = $50 \mu\text{W}$

Snaga pumpnih lasera = $2 \times 100 \text{ mW}$

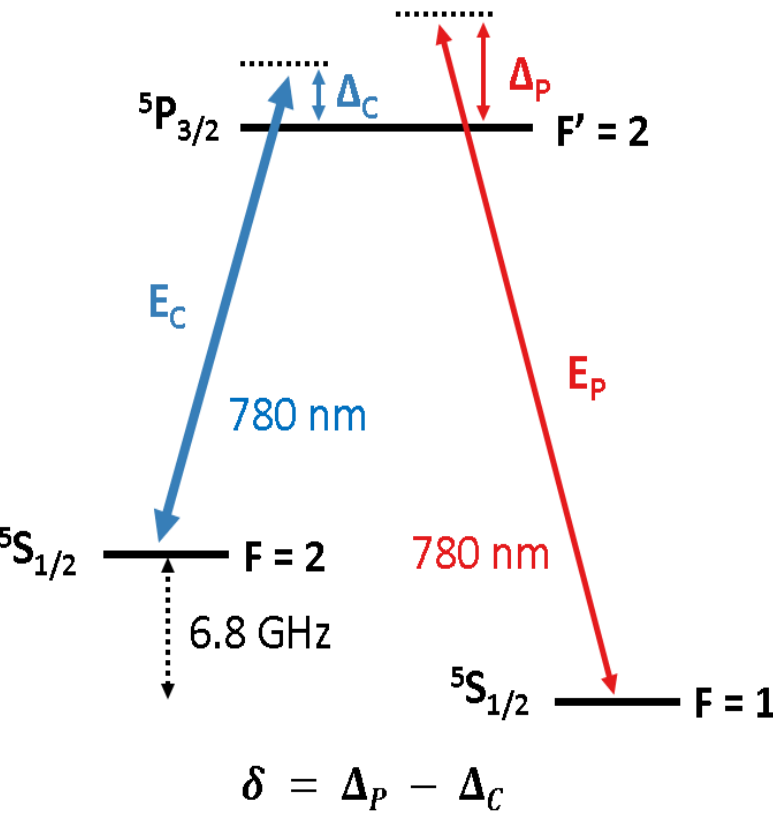
Rubidij 87



D. A. Steck, Rubidium 87 D Line Data (2004),
<https://steck.us/alkalidata/>

C A L T

^{87}Rb level scheme



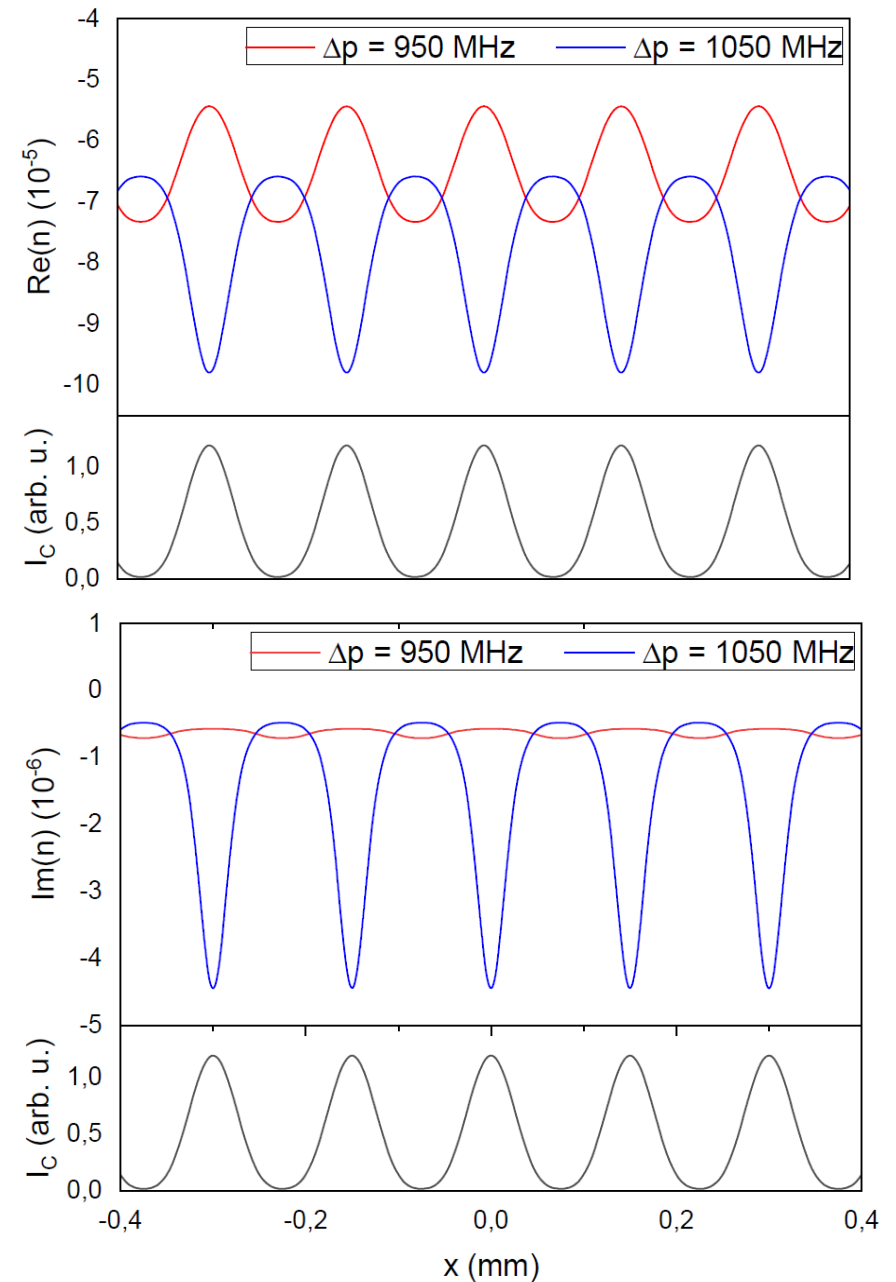
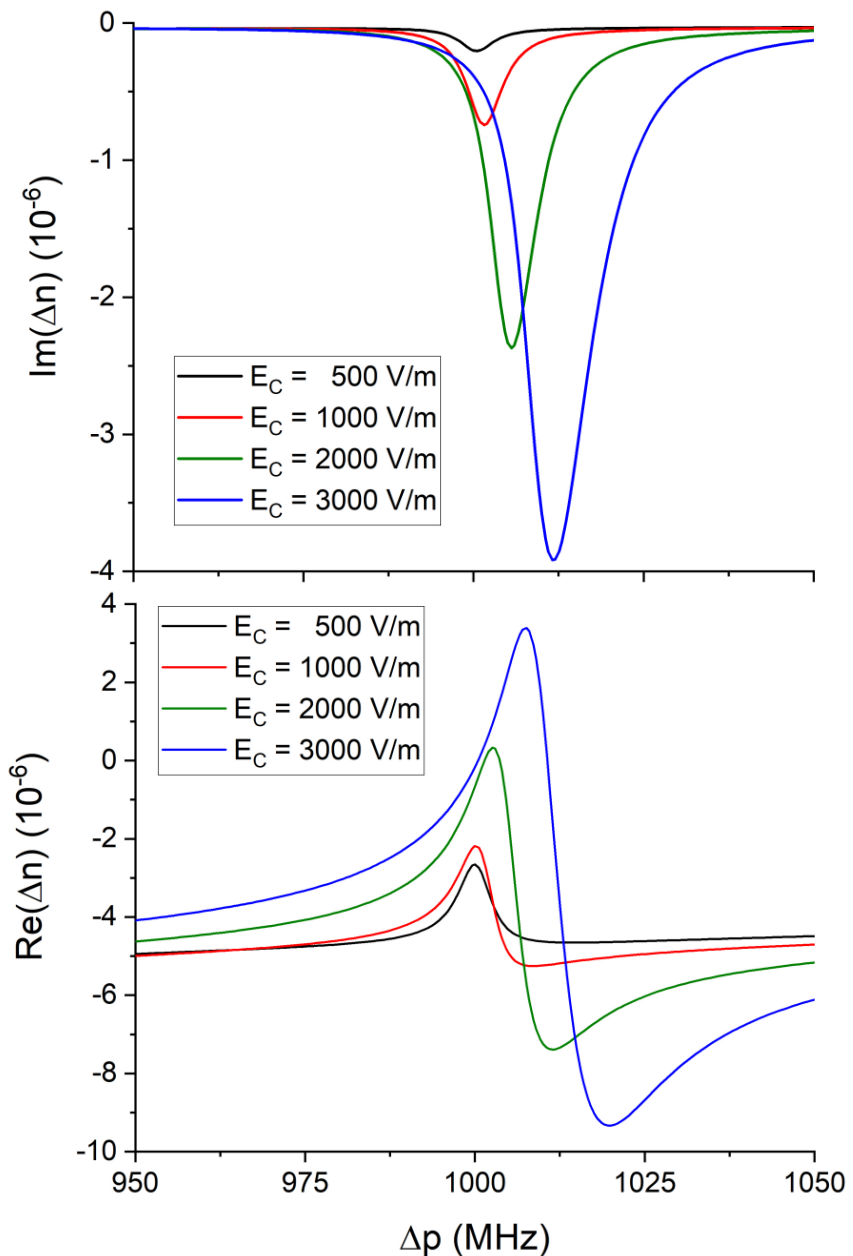
σ_{13}



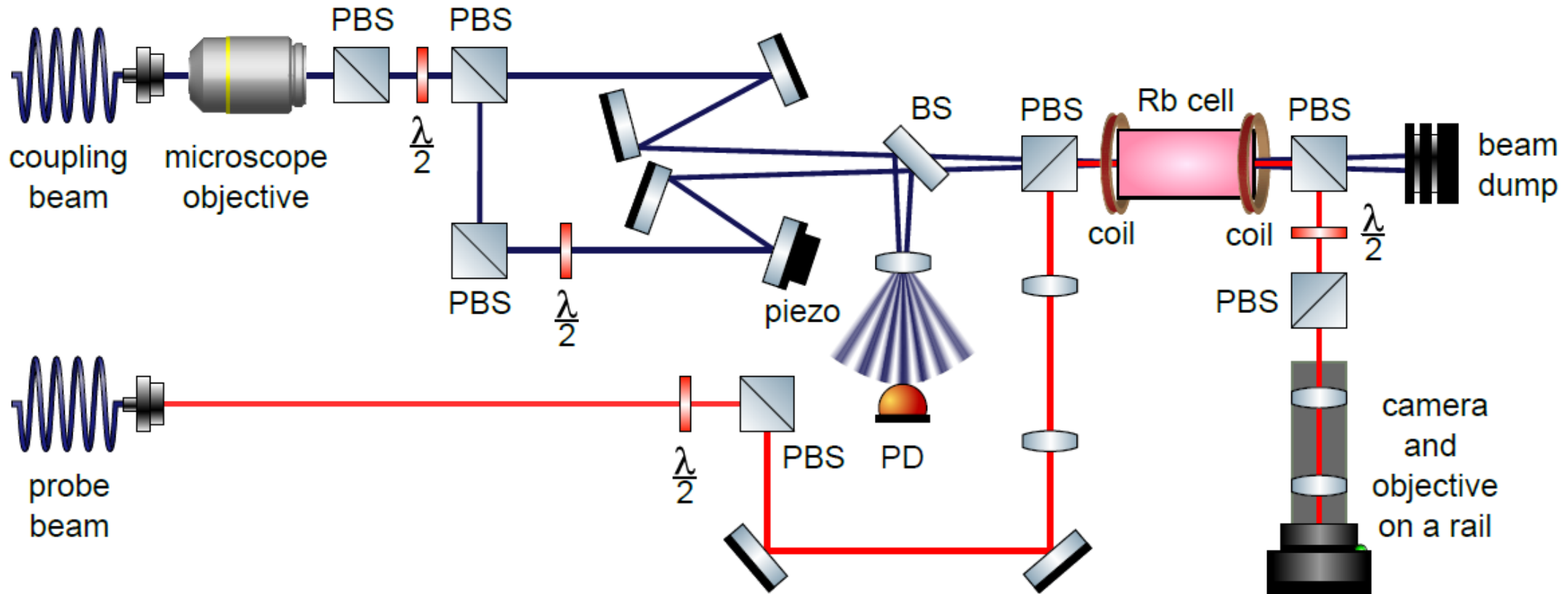
Indeks loma

$$\frac{\partial E_p}{\partial y} = \frac{1}{2ik} \left(\frac{\partial^2 E_p}{\partial x^2} + \frac{\partial^2 E_p}{\partial y^2} \right) - i\Delta n k E_p$$

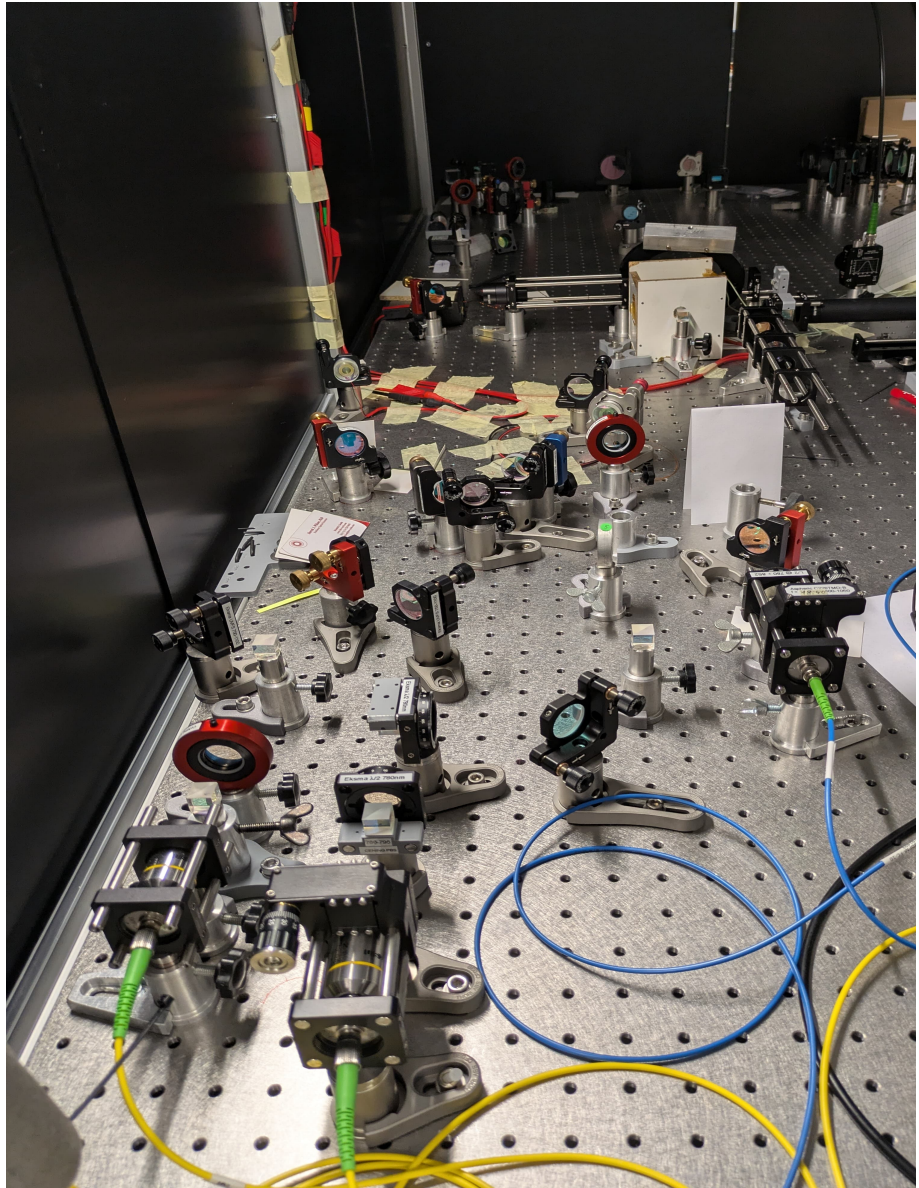
Indeks loma



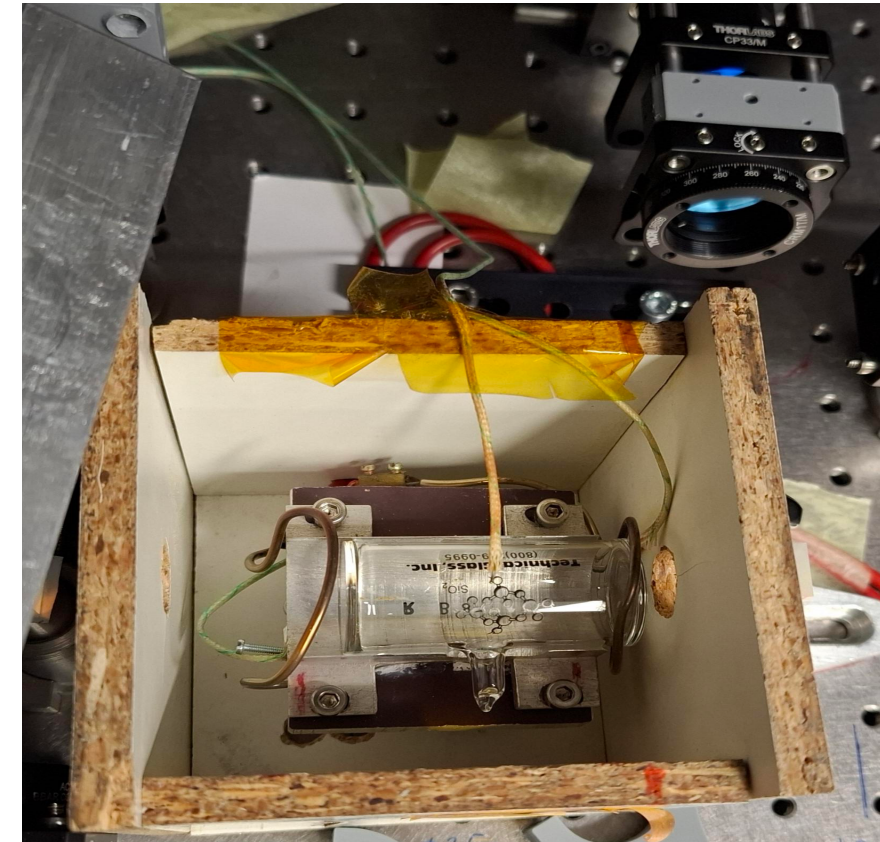
Eksperimentalni postav



Eksperimentalni postav



Staklena čelija s atomima rubidija



Rezultati

Diskretna difrakcija, rešetka = 37 μm , $\Delta_p - \Delta_C = 80 \text{ MHz}$

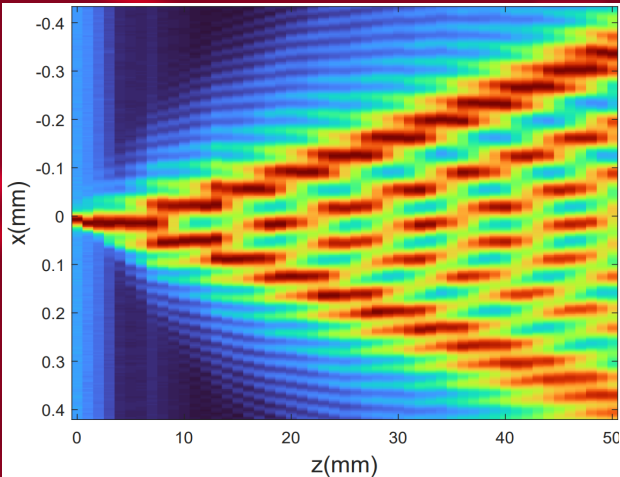
Snaga probnog lasera = 50 μW

Snaga pumpnih lasera = 2 x 100 mW

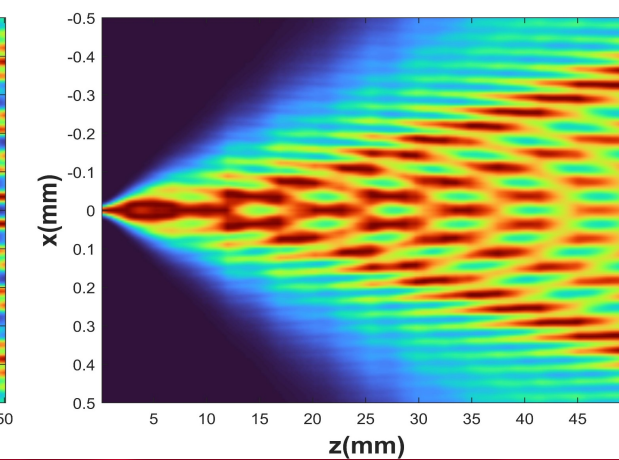
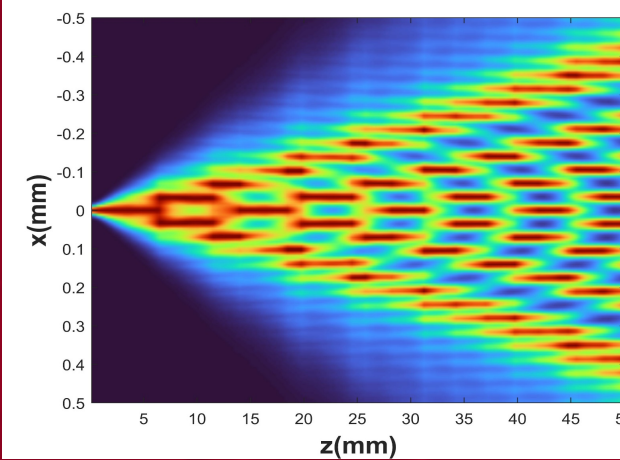
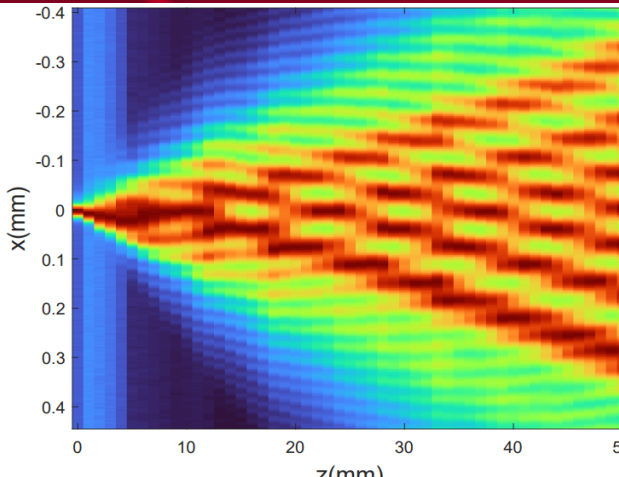
Eksperimentalni rezultati

Numeričke simulacije

Tamna pruga



Svjetla pruga



Rezultati

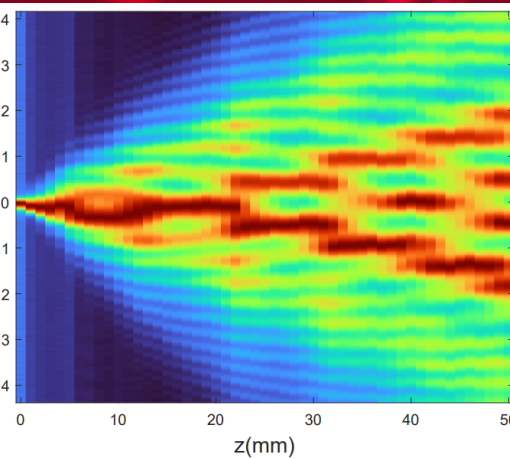
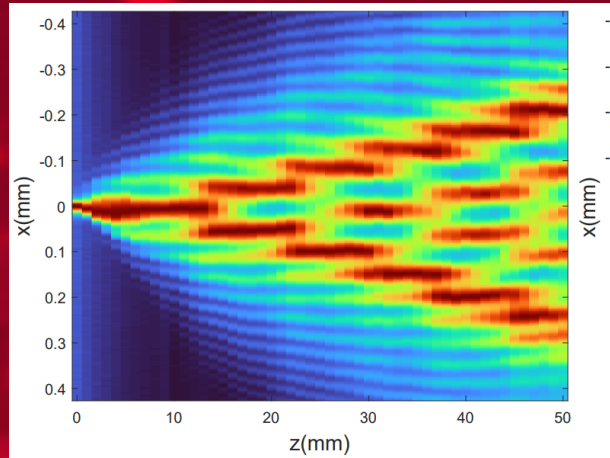
Diskretna difrakcija, rešetke 37 i 47 μm , $\Delta_p - \Delta_C = 80 \text{ MHz}$

Snaga probnog lasera = 50 μW

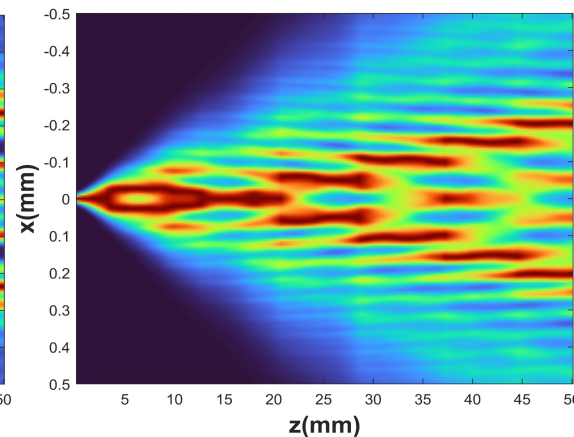
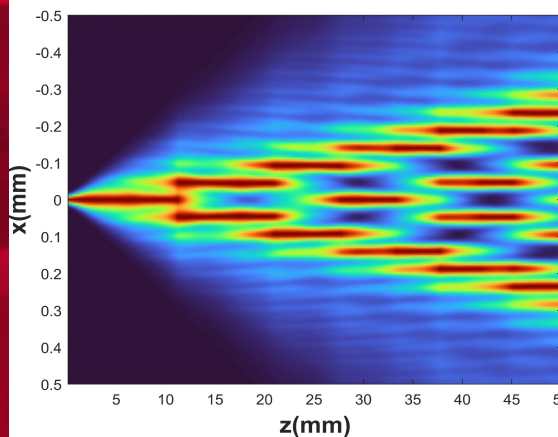
Snaga pumpnih lasera = 2 x 100 mW

47 μm

Izmjereno



Simulacije

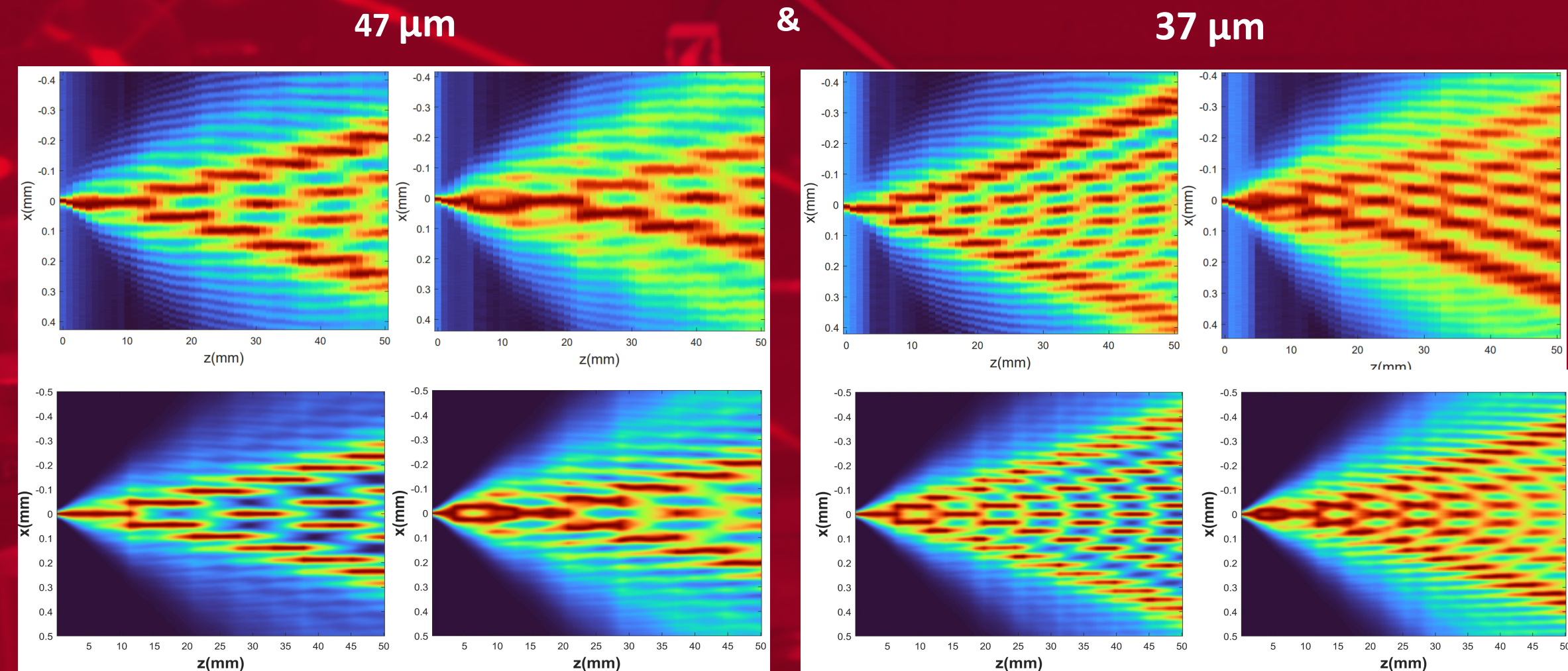


Rezultati

Diskretna difrakcija, rešetke 37 i $47\text{ }\mu\text{m}$, $\Delta_p - \Delta_C = 80\text{ MHz}$

Snaga probnog lasera = $50\text{ }\mu\text{W}$

Snaga pumpnih lasera = $2 \times 100\text{ mW}$



Rezultati

Fokusiranje probe u svjetlu prugu rešetke 140 µm

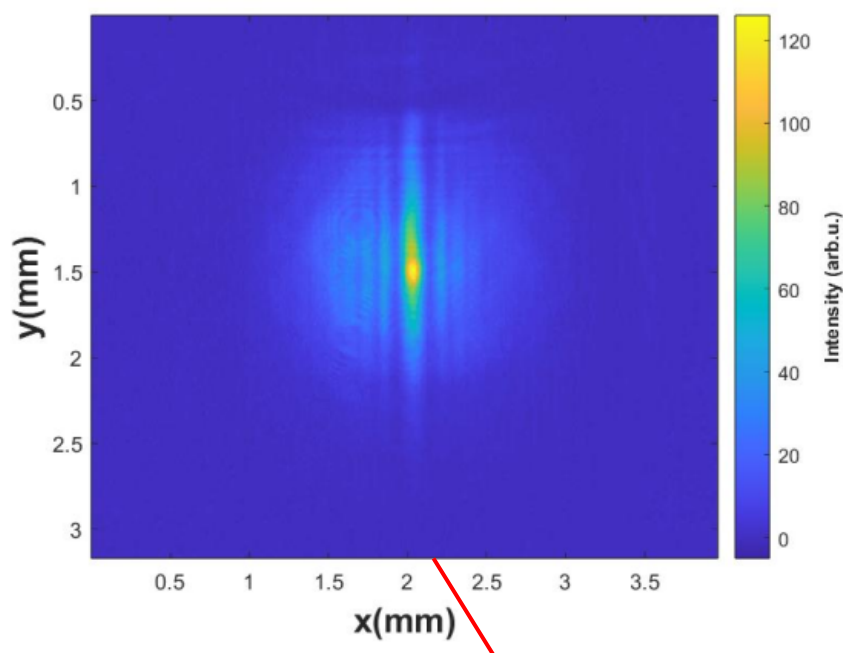
Eksperimentalni rezultati

$$\Delta_C = 1000 \text{ MHz}$$

Snaga probnog lasera = 50 μW

Snaga pumpnih lasera = 2 x 100 mW

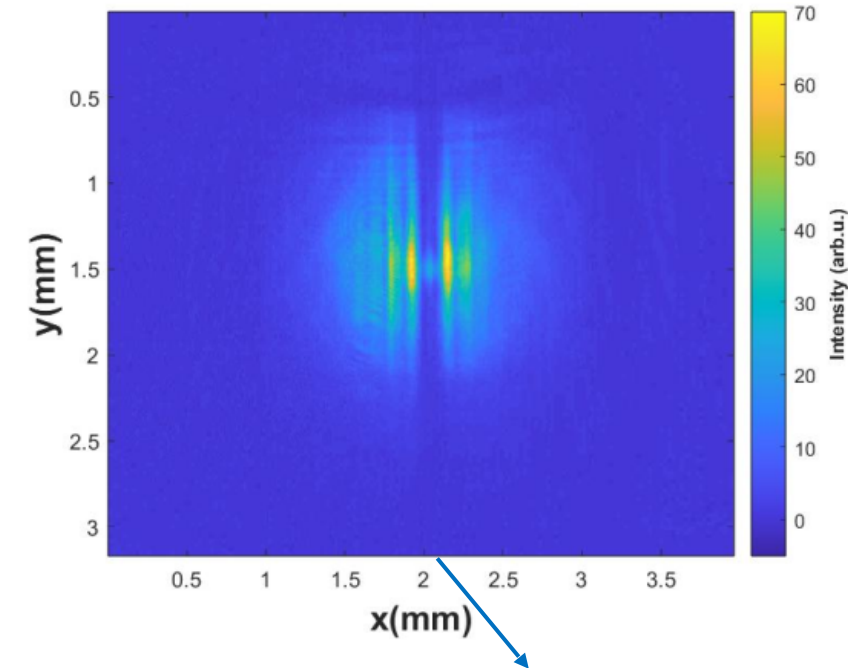
Slika probe na izlazu iz staklene ćelije



Crveni frekventni pomak

$$\Delta_p - \Delta_C = -9 \text{ MHz}$$

Slika probe na izlazu iz staklene ćelije



Plavi frekventni pomak

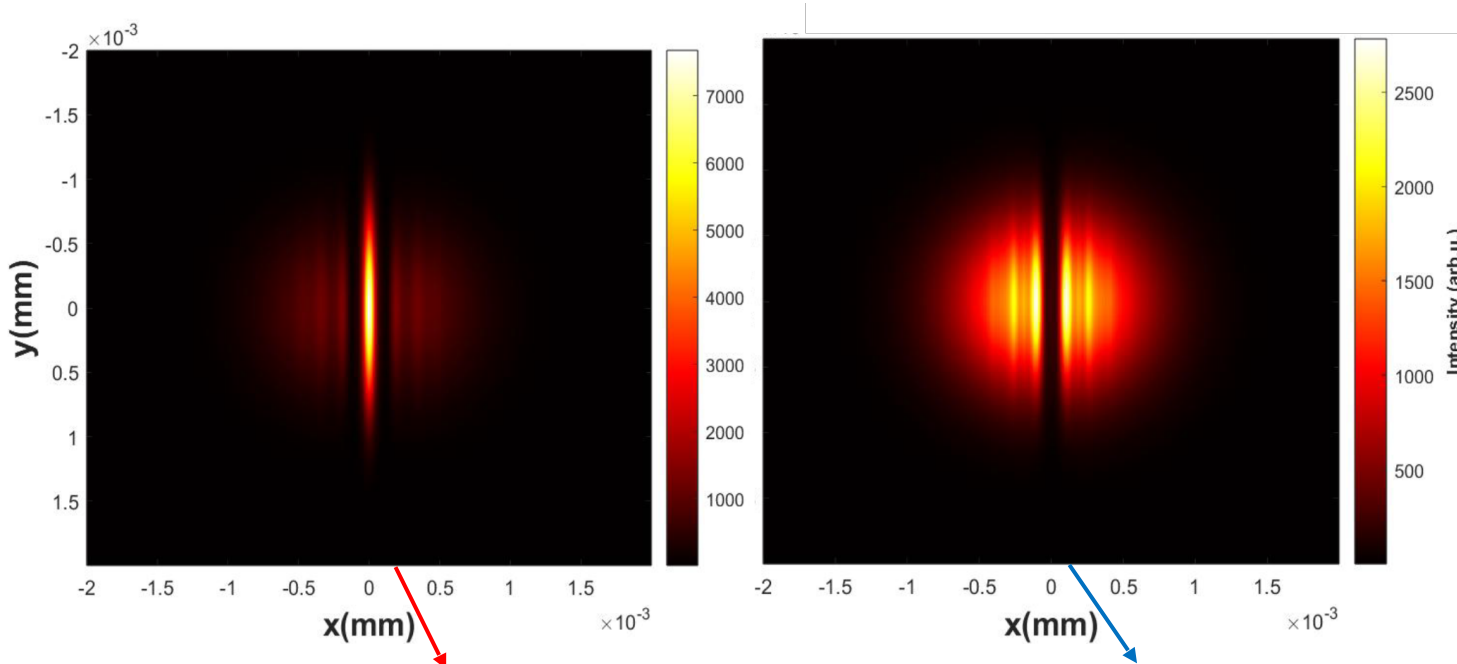
$$\Delta_p - \Delta_C = 61 \text{ MHz}$$

Rezultati

Fokusiranje probe u svjetlu prugu rešetke 140 µm

Numeričke simulacije

Izgled probe na izlazu iz staklene ćelije



Crveni frekventni pomak

$$\Delta_p - \Delta_C = -50 \text{ MHz}$$

Plavi frekventni pomak

$$\Delta_p - \Delta_C = 50 \text{ MHz}$$

$$\Delta_C = 1000 \text{ MHz}$$

$$\text{Snaga probnog lasera} = 50 \mu\text{W}$$

$$\text{Snaga pumpnih lasera} = 2 \times 100 \text{ mW}$$

Rezultati

Fokusiranje probe u tamnu prugu rešetke 140 µm

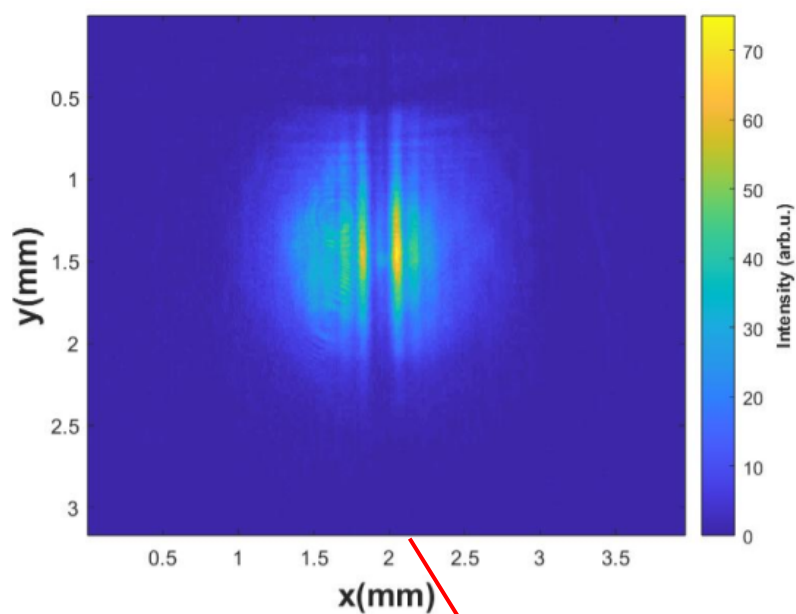
Eksperimentalni rezultati

$\Delta_C = 1000 \text{ MHz}$

Snaga probnog lasera = $50 \mu\text{W}$

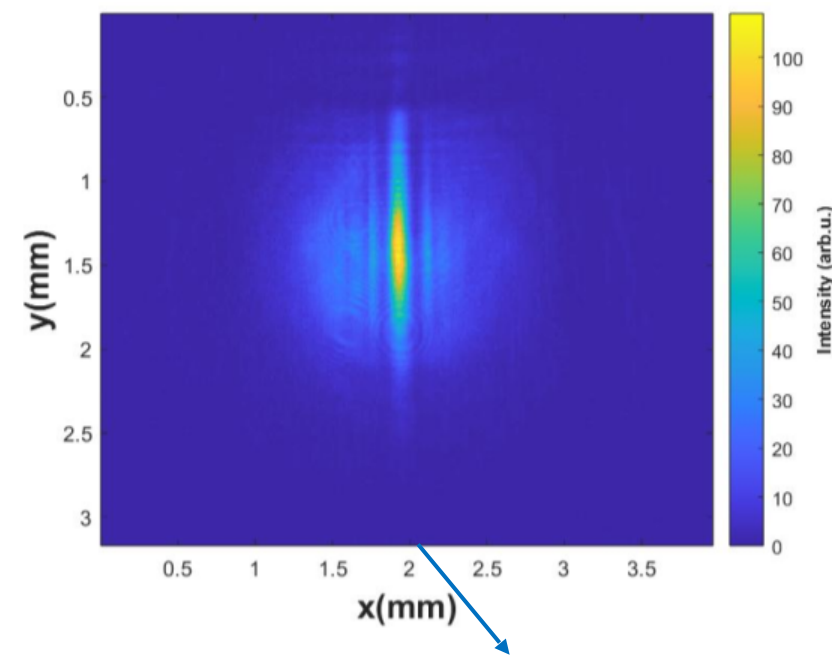
Snaga pumpnih lasera = $2 \times 100 \text{ mW}$

Slika probe na izlazu iz staklene ćelije



Crveni frekventni pomak
 $\Delta_p - \Delta_C = -9 \text{ MHz}$

Slika probe na izlazu iz staklene ćelije



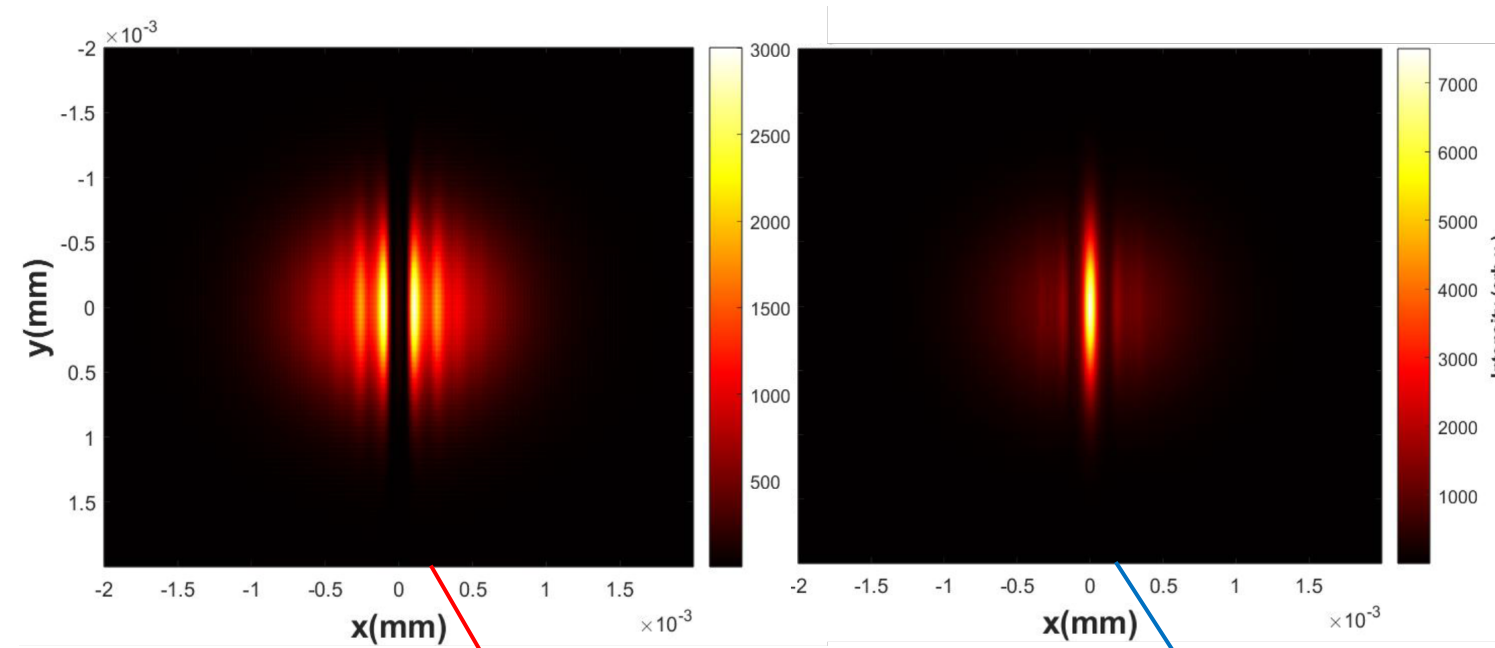
Plavi frekventni pomak
 $\Delta_p - \Delta_C = 61 \text{ MHz}$

Rezultati

Fokusiranje probe u svjetlu prugu rešetke 140 µm

Numeričke simulacije

Izgled probe na izlazu iz staklene ćelije



Crveni frekventni pomak

$$\Delta_p - \Delta_C = -50 \text{ MHz}$$

Plavi frekventni pomak

$$\Delta_p - \Delta_C = 50 \text{ MHz}$$

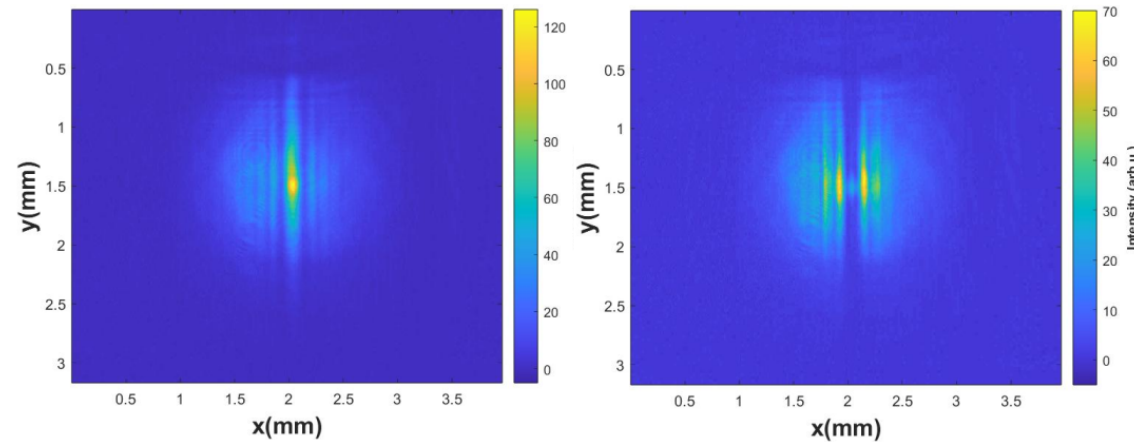
$$\Delta_C = 1000 \text{ MHz}$$

Snaga probnog lasera = 50 µW

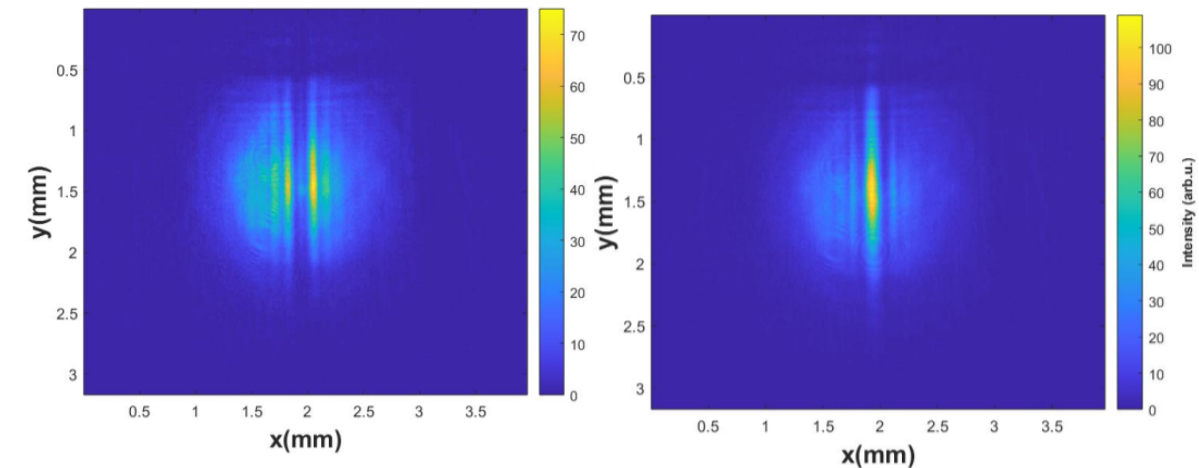
Snaga pumpnih lasera = 2 x 100 mW

Rezultati

Proba fokusirana u svjetlu prugu

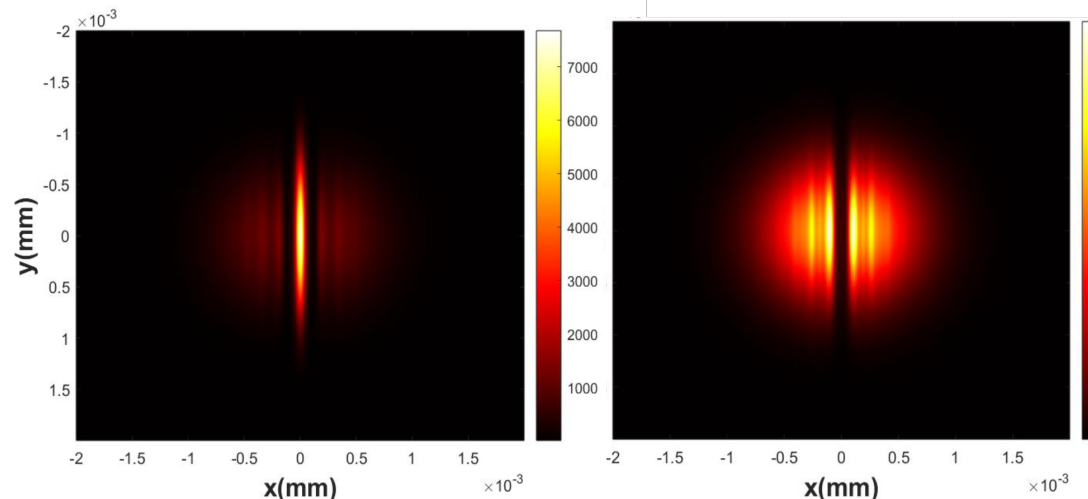


Proba fokusirana u tamnu prugu

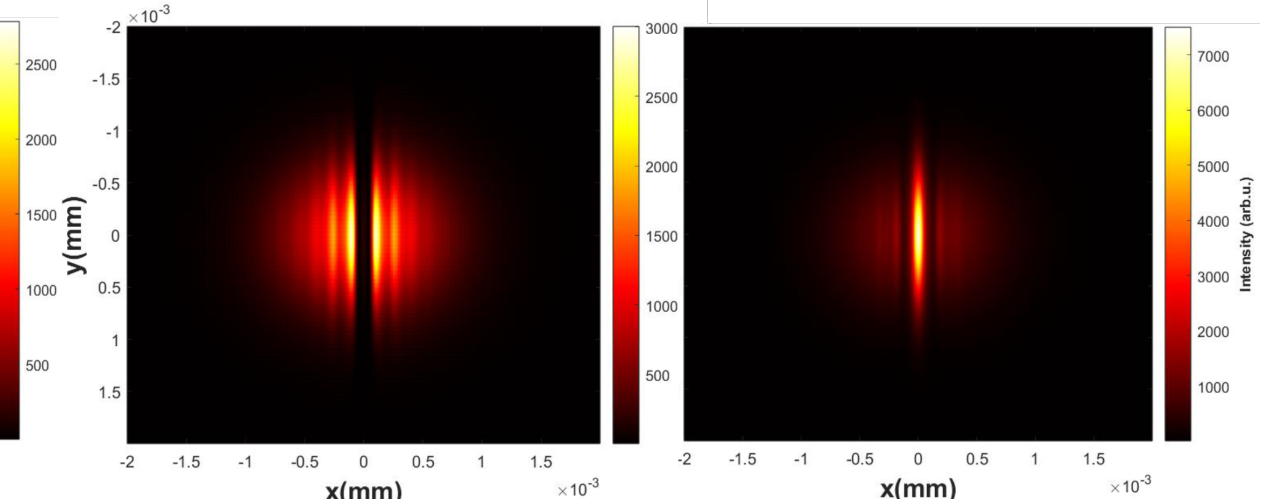


Izmjereno

Simulacije



Crveni frekventni pomak



Plavi frekventni pomak

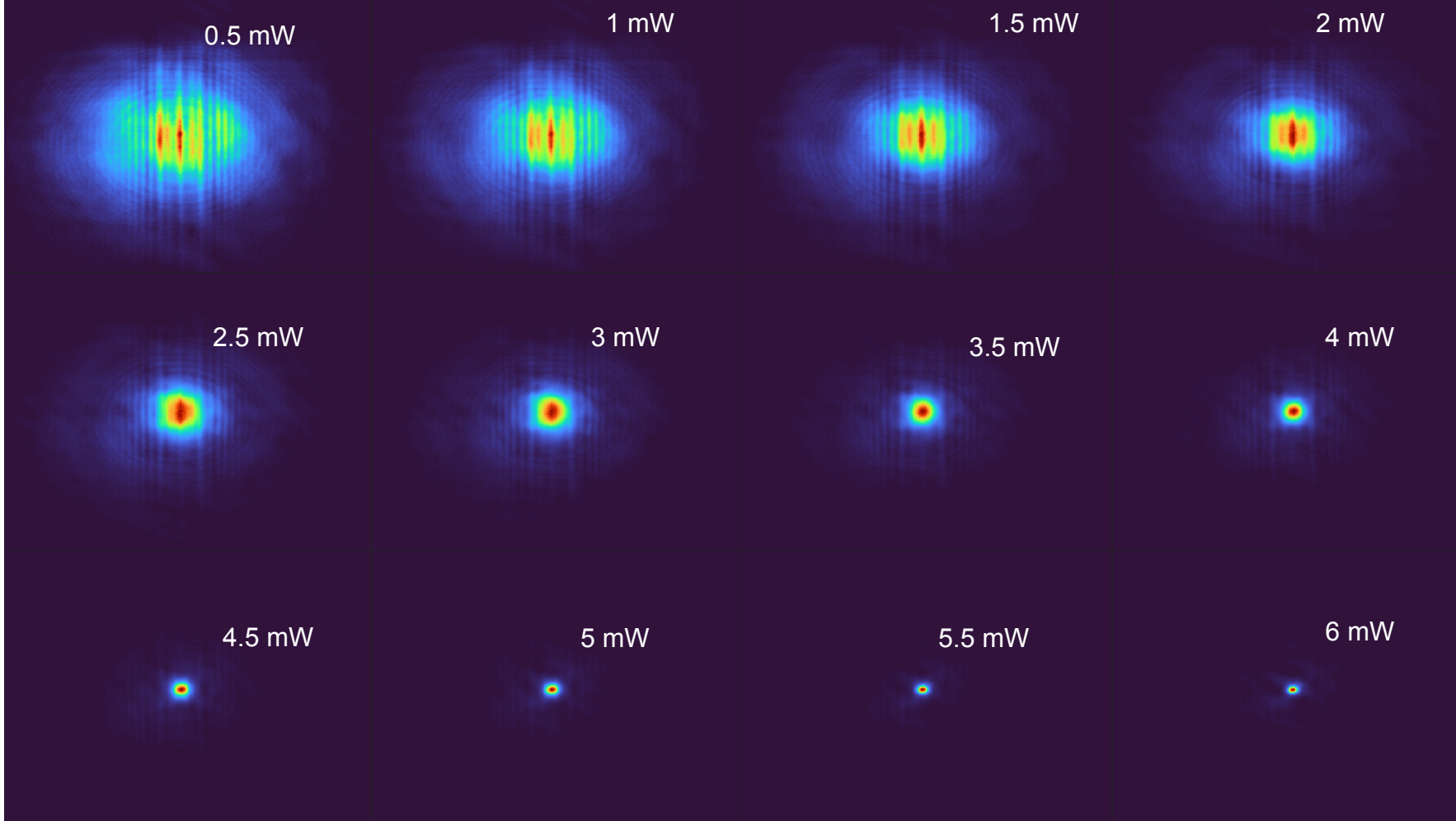
CALT

Crveni frekventni pomak

Plavi frekventni pomak

Rezultati

Diskretni solitoni, dvofotonski frekventni pomak na - 40 MHz



- Diskretna difrakcija
- Apsorpcija
- Solitonsko ponašanje

Diskretni solitoni

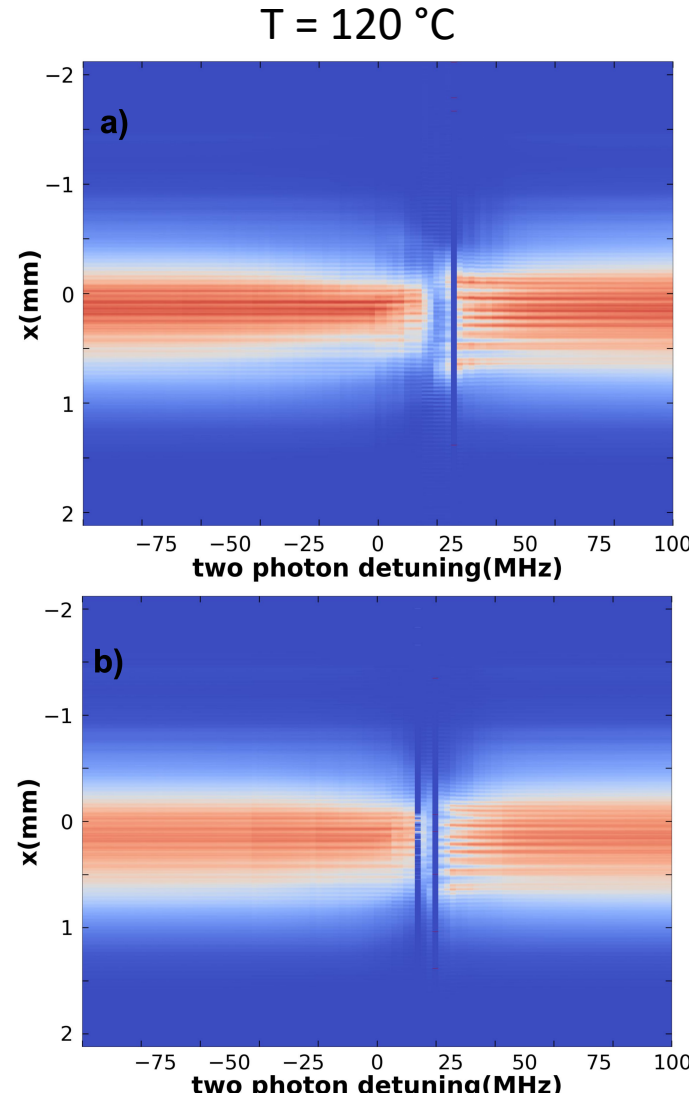
Slike probe na izlazu iz staklene ćelije u ovisnosti o dvofotonskom pomaku

Snaga probnog lasera = 1.5 mW

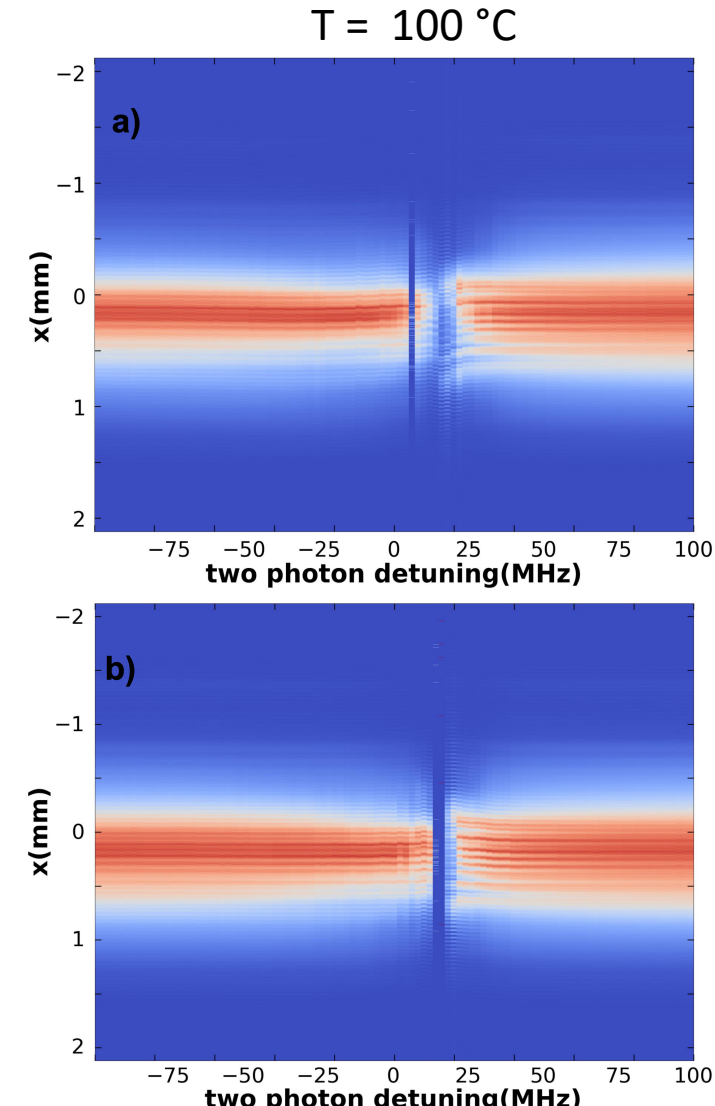
Snaga pumpnih lasera = 2 x 200 mW

Veličina rešetke = 35 μm

$$\Delta_C = 1100 \text{ MHz}$$



$$\Delta_C = 1300 \text{ MHz}$$



Diskretni solitonи

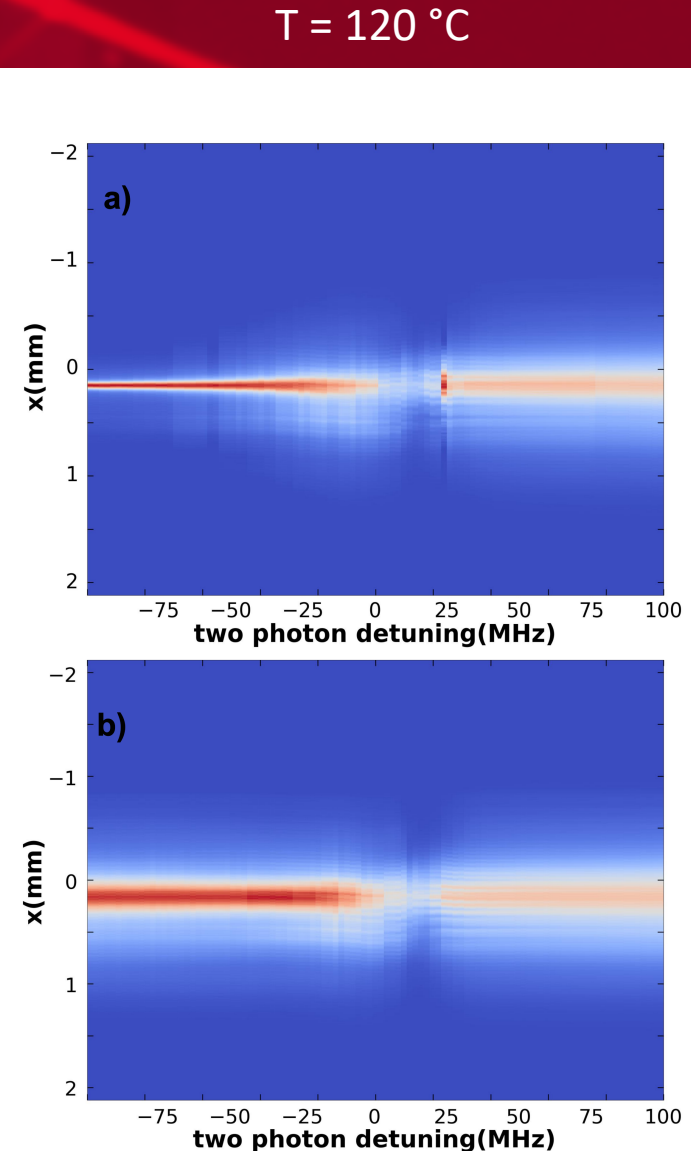
Slike probe na izlazu iz staklene ćelije u ovisnosti o dvofotonskom pomaku

Snaga probnog lasera = 6 mW

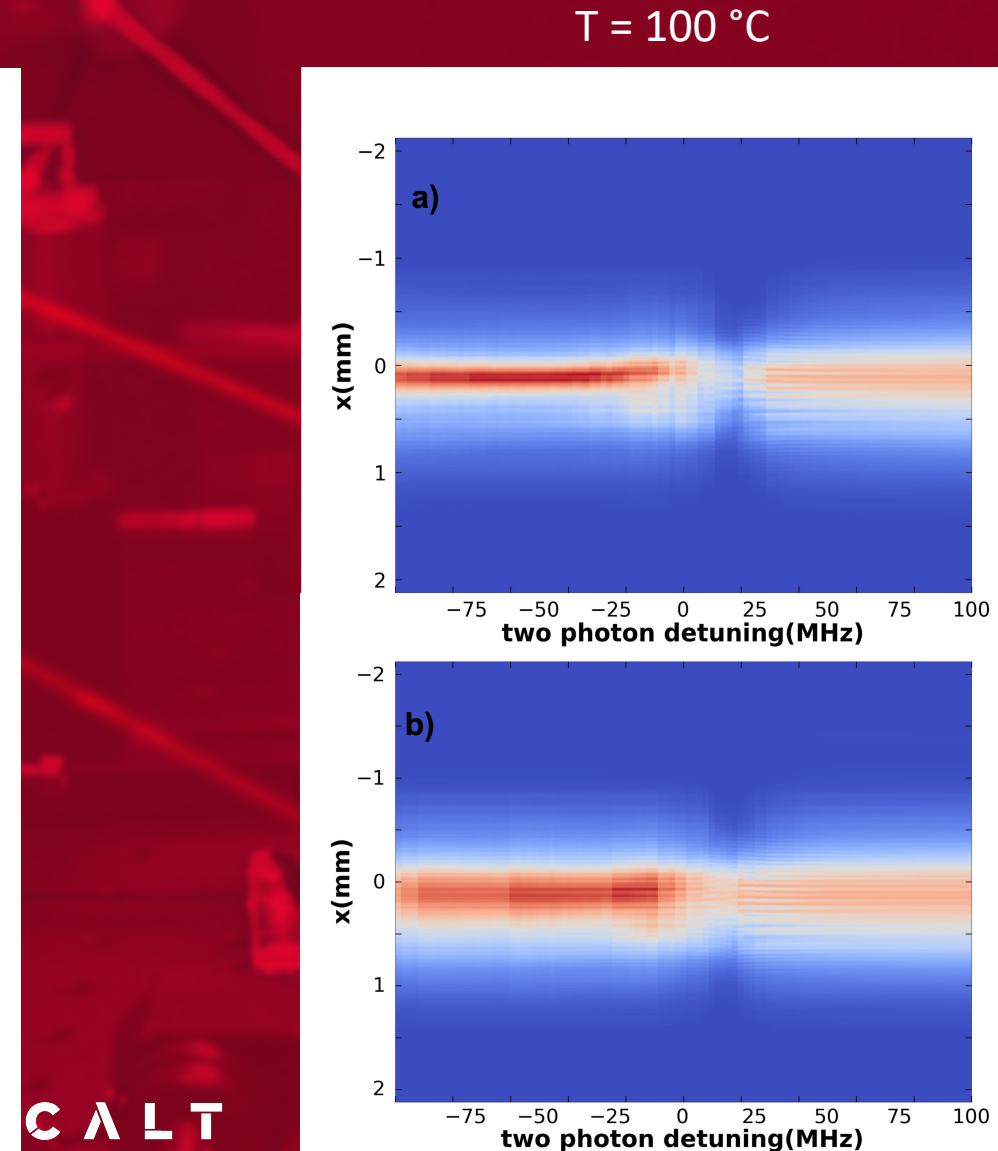
Snaga pumpnih lasera = 2 x 200 mW

Veličina rešetke = 35 μm

$\Delta_C = 1100 \text{ MHz}$



$\Delta_C = 1300 \text{ MHz}$



Diskretni solitoni

Slike probe na izlazu iz staklene čelije u ovisnosti o dvofotonskom pomaku

Snaga probnog lasera = 20 mW

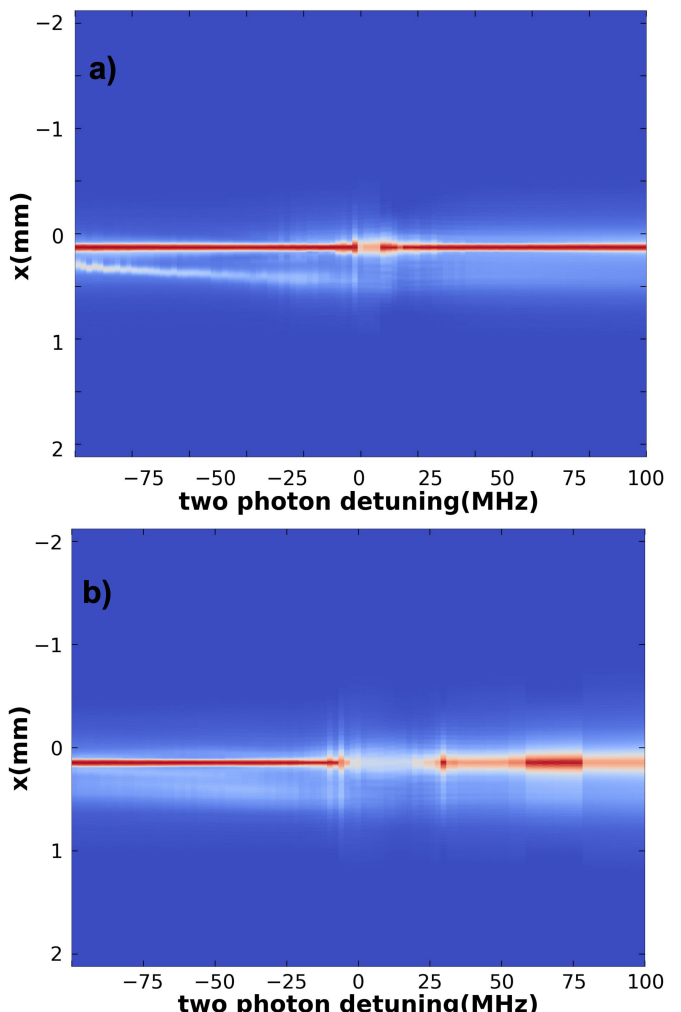
Snaga pumpnih lasera = 2 x 200 mW

Veličina rešetke = 35 μm

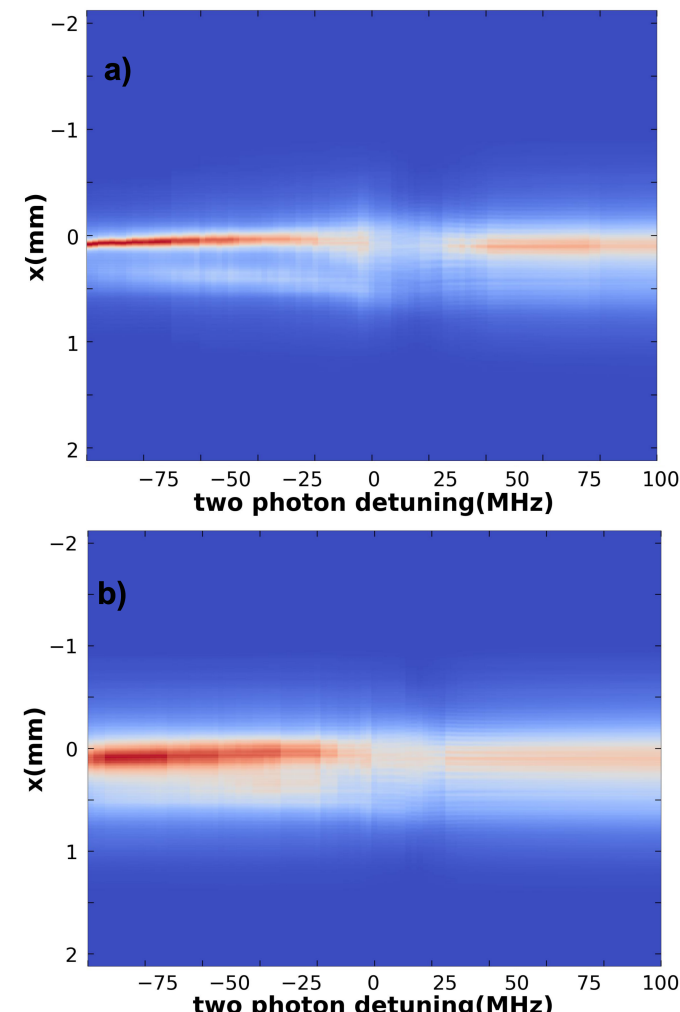
$\Delta_C = 1100 \text{ MHz}$

$\Delta_C = 1300 \text{ MHz}$

T= 120 °C



T= 100 °C

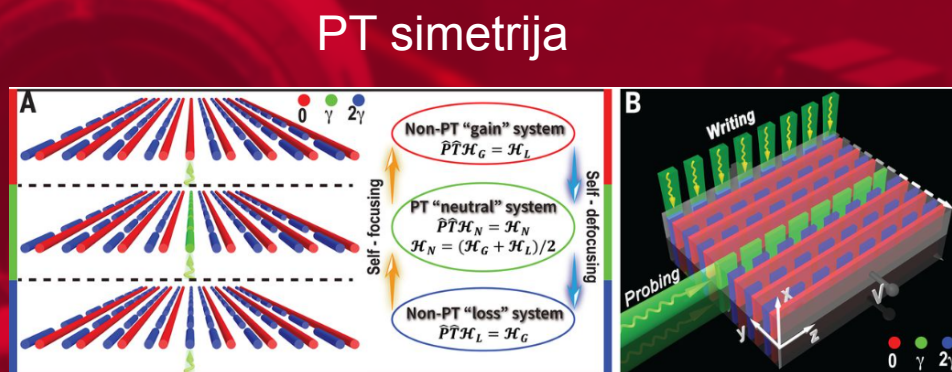


Zaključak

- Ukratko objašnjen postupak dobivanja diskretne difrakcije na optički induciranim rešetkama
- Ponašanje diskretne difrakcije ovisno o veličini rešetke i o fokusiranju probe u tamnu, odnosno svijetlu prugu
- Pojava solitona ovisno o snazi probe i frekventnom pomaku probe i pumpe
- Bogata podloga za istraživanje kompleksnih kvantnih i optičkih fenomena
- Sljedeći korak: 2D rešetka

Zaključak

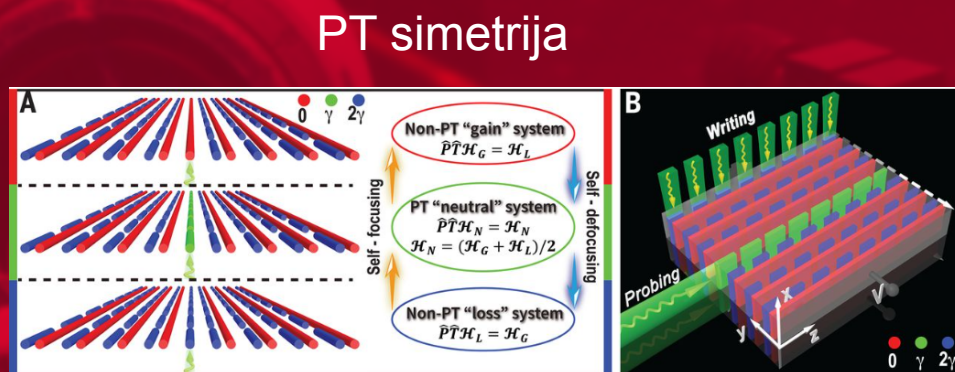
- Ukratko objašnjen postupak dobivanja diskretne difrakcije na optički induciranim rešetkama
- Ponašanje diskretne difrakcije ovisno o veličini rešetke i o fokusiranju probe u tamnu, odnosno svijetlu prugu
- Pojava solitona ovisno o snazi probe i frekventnom pomaku probe i pumpe
- Bogata podloga za istraživanje kompleksnih kvantnih i optičkih fenomena
- Sljedeći korak: 2D rešetka



S. Xia *et al.*, Science 372, 6537
(2021)

Zaključak

- Ukratko objašnjen postupak dobivanja diskretne difrakcije na optički induciranim rešetkama
- Ponašanje diskretne difrakcije ovisno o veličini rešetke i o fokusiranju probe u tamnu, odnosno svijetlu prugu
- Pojava solitona ovisno o snazi probe i frekventnom pomaku probe i pumpe
- Bogata podloga za istraživanje kompleksnih kvantnih i optičkih fenomena
- Sljedeći korak: 2D rešetka



S. Xia *et al.*, Science 372, 6537
(2021)

CALT

2D rešetka





CENTRE FOR ADVANCED LASER TECHNIQUES

Hvala na pažnji!

Projekt je sufinanciran u okviru OP Konkurentnost i kohezija, iz Europskog fonda za regionalni razvoj.

© CALT



Europska unija
Zajedno do fondova EU



Operativni program
**KONKURENTNOST
I KOHEZIJA**



Dodatak Optičke Blochove jednadžbe

$$\begin{aligned}\frac{\partial \rho_{11}}{\partial t} &= \frac{-i\mu_{13}E_p}{\hbar}(\sigma_{13} - \sigma_{31}) + \Gamma_{13}\rho_{33}, \\ \frac{\partial \rho_{22}}{\partial t} &= \frac{-i\mu_{23}E_C}{\hbar}(\sigma_{23} - \sigma_{32}) + \Gamma_{23}\rho_{33}, \\ \frac{\partial \rho_{33}}{\partial t} &= \frac{i\mu_{13}E_p}{\hbar}(\sigma_{13} - \sigma_{31}) + \frac{i\mu_{23}E_C}{\hbar}(\sigma_{23} - \sigma_{32}) - (\Gamma_{13} + \Gamma_{23})\rho_{33}, \\ \frac{\partial \sigma_{12}}{\partial t} &= \frac{-i\mu_{23}E_C}{\hbar}\sigma_{13} + \frac{i\mu_{13}E_p}{\hbar}\sigma_{32} + [i(\Delta c - \Delta p) - \gamma_{12}]\sigma_{12}, \\ \frac{\partial \sigma_{13}}{\partial t} &= \frac{i\mu_{13}E_p}{\hbar}(\rho_{33} - \rho_{11}) - \frac{i\mu_{23}E_C}{\hbar}\sigma_{12} - \left(i\Delta p + \gamma_{13} + \frac{\Gamma_{13}}{2} + \frac{\Gamma_{23}}{2}\right)\sigma_{13}, \\ \frac{\partial \sigma_{23}}{\partial t} &= \frac{i\mu_{23}E_C}{\hbar}(\rho_{33} - \rho_{22}) - \frac{i\mu_{13}E_p}{\hbar}\sigma_{21} - \left(i\Delta c + \gamma_{23} + \frac{\Gamma_{13}}{2} + \frac{\Gamma_{23}}{2}\right)\sigma_{23},\end{aligned}$$